

Rikki C. Buckworth et al./PWP
AQUT100001000

1/4

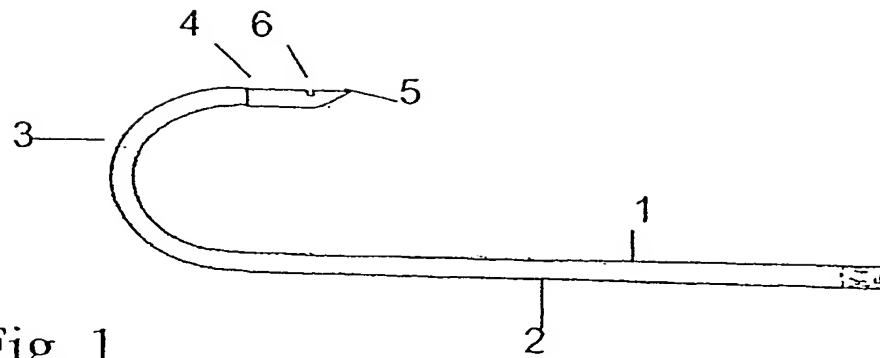


Fig. 1

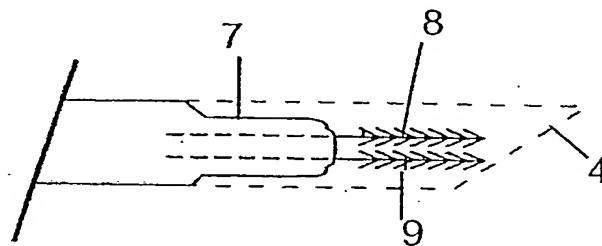


Fig. 2

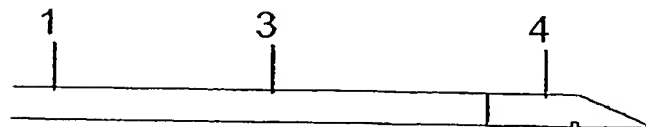


Fig. 3

AQUT100001000

2/4

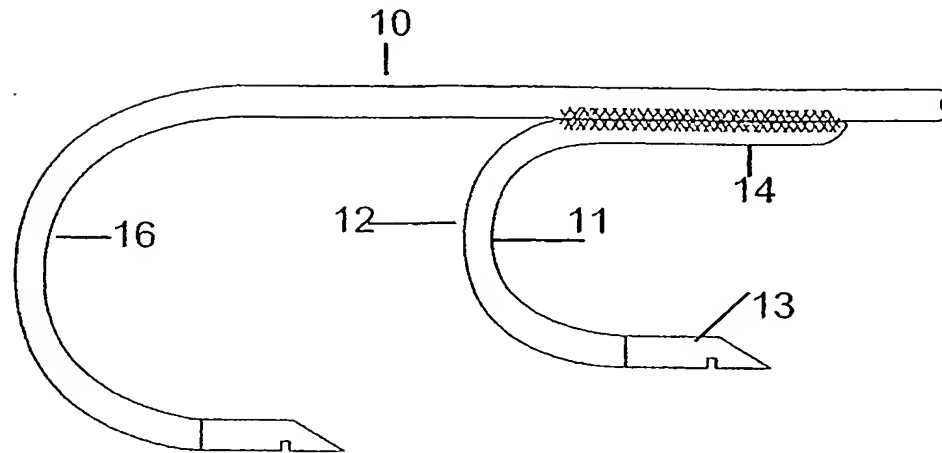


Fig. 4

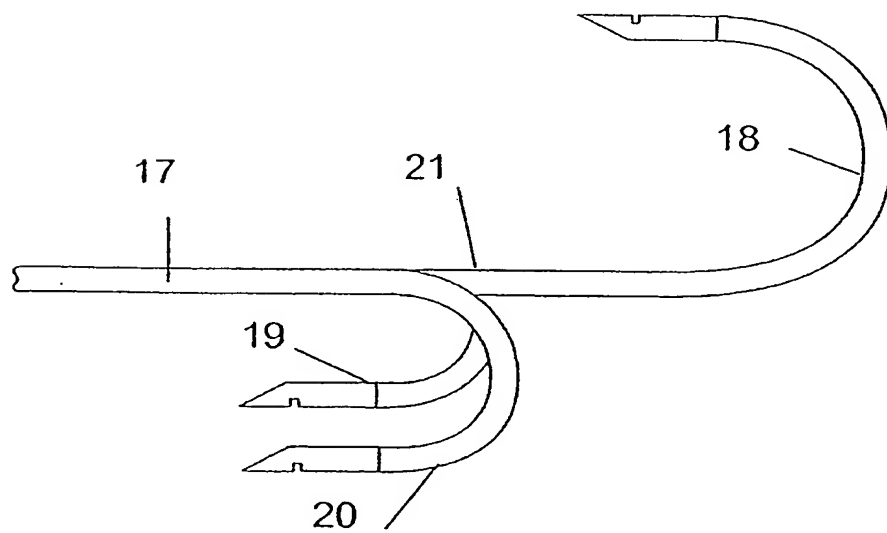


Fig. 5

AQUT100001000

3/4

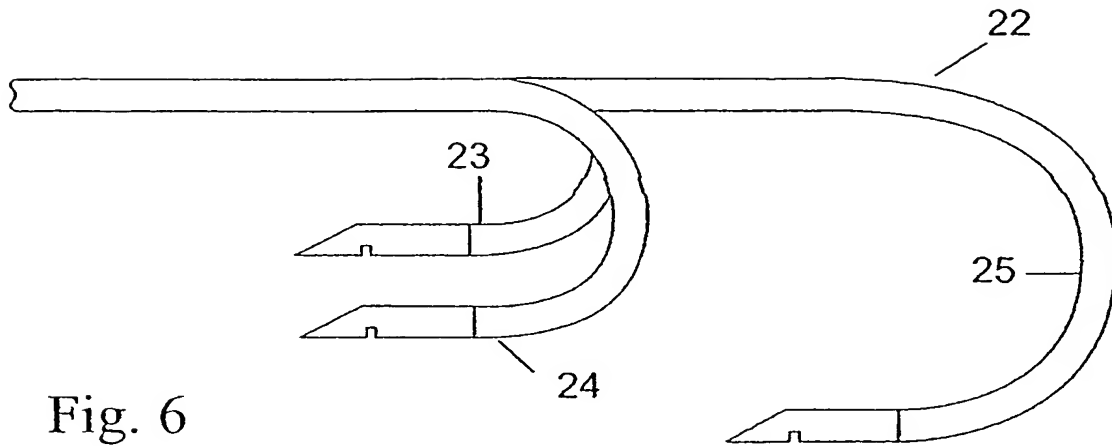


Fig. 6

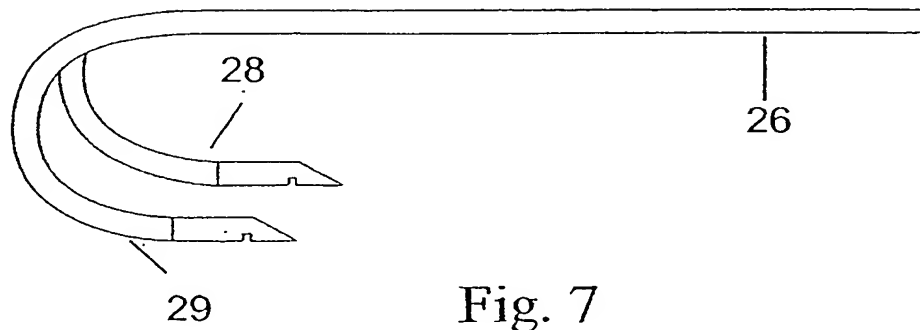


Fig. 7

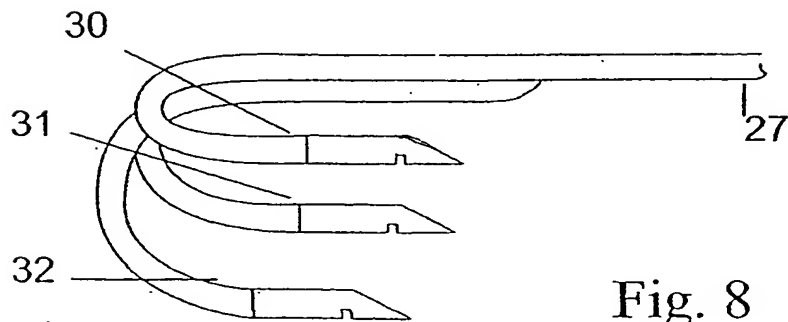


Fig. 8

AQUT100001000

4/4

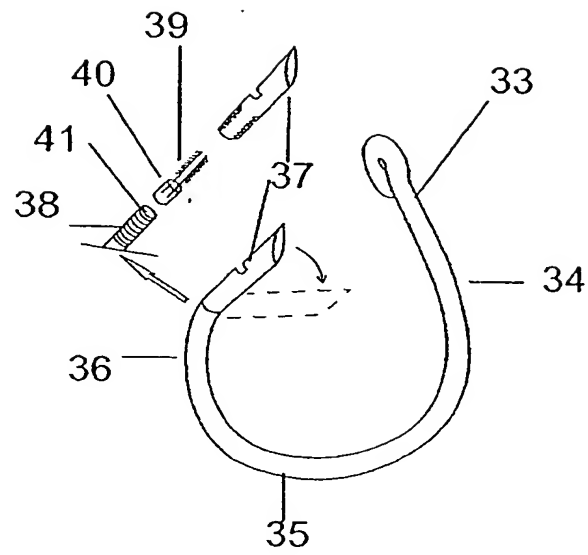


Fig. 9